

บทที่ 2

แนวคิด ทฤษฎี และผลงานวิจัยที่เกี่ยวข้อง

วิทยานิพนธ์ฉบับนี้นำเสนอของเรียก/ปิดพัลส์ให้แก่คลื่นและการโปรแกรมในโครงสร้างโลหะเพื่อใช้ในการตรวจจับผลตอบสนองเชิงเวลาของกระแสไฟฟ้าในคลื่นที่เกิดจากโลหะโดยใช้การเหนี่ยวนำด้วยพัลส์ ดังนี้ในบทที่ 2 นี้จะประกอบไปด้วยหัวข้ออย่างๆ ดังนี้ หัวข้อที่ 2.1 กล่าวถึงเครื่องตรวจจับโลหะที่มีการขยายหรือใช้งานในปัจจุบัน ทฤษฎีวงจรไฟฟ้าพื้นฐานที่ใช้ในการออกแบบและสร้างวงจรเปิด/ปิดสัญญาณพัลส์ การประยุกต์ใช้งานทรานซิสเตอร์ร่วมกับสัญญาณพัลส์ PWM และทฤษฎีการพันเส้นคลื่นเป็นรูปวงกลมจะอธิบายไว้ในหัวข้อที่ 2.2, 2.3, และ 2.4 ตามลำดับ ส่วนหัวข้อที่ 2.5 และ 2.6 จะกล่าวถึงการตรวจจับค่าแรงดันต่อกรั่วมิโอดอมิค่าเท่ากับศูนย์และวงจรเปิด/ปิดสัญญาณพัลส์ให้แก่คลื่น ส่วนหัวข้อสุดท้ายจะกล่าวถึงผลงานวิจัยที่เกี่ยวข้อง โดยรายละเอียดของแต่ละหัวข้ออยู่ย่อ扼มีดังนี้

2.1 เครื่องตรวจจับโลหะ (Metal Detector)¹

เครื่องตรวจจับโลหะนั้นเป็นเครื่องที่ถูกค้นพบโดยวิศวกรชาวต่างชาตินานาชาติมานานไม่ต่ำกว่า 50 ปีและมีขายในเชิงพาณิชย์มานานนับสิบปี แต่แทบจะไม่มีการเปิดเผยข้อมูลหรือเอกสารใดเกี่ยวกับเครื่องตรวจจับโลหะออกแบบสู่สาธารณะหรือเผยแพร่ข้อมูลทางเทคนิคในการสร้างและออกแบบในอินเตอร์เน็ตเลย มีเพียงงานวิจัยที่ตีพิมพ์หลายสิบปีที่ผ่านมาและวงจรในเครื่องตรวจจับโลหะที่มีขาย (จดสิทธิบัตรแล้ว) ที่นำเสนอเป็นวงจรแอนะล็อกที่ประกอบไปด้วยอุปกรณ์ RLC ใน การสร้าง ซึ่งเป็นวงจรที่ยุ่งยาก ซับซ้อน อออกแบบและทดสอบประสิทธิภาพการใช้งาน รวมไปถึง พัฒนาต่อเพื่อใช้งานได้มากกว่า ในที่นี้ อาจจะกล่าวได้ว่า แทบจะไม่มีครรภาระได้เลยว่าเครื่องตรวจจับโลหะมีหลักการออกแบบวงจรที่ใช้งานและมีวิธีทดสอบก่อนการใช้งานได้จริงย่างไร ประเด็นที่ทราบมีเพียงข้อเดียว คือ “วิธีการใช้งานในทางปฏิบัติ เมื่อซื้อเครื่องตรวจจับโลหะมาแล้ว เท่านั้น” ซึ่งแน่นอนที่สุด การใช้งานก็จะเป็นไปตามคำแนะนำการใช้เครื่องที่กำหนดโดยตัว ไม่สามารถพัฒนาต่อไปได้ มีการใช้งานที่จำกัด และที่สำคัญต้องนำเข้าเครื่องจากต่างประเทศเท่านั้น

¹ สิทธิบัตร ลีลาธรรมชัย. เครื่องตรวจหาโลหะ. จาก

http://www.doe.eng.cmu.ac.th/~tharadol/teach/ee442/442_48/442_48rp/45397_detector.pdf.

อีกทั้ง เนื่องจากการวิจัย ออกแบบและพัฒนาเครื่องตรวจจับโลหะดังกล่าวทำได้ยาก และต้องทดสอบใช้งานได้จริงเป็นเวลานาน จึงแทนจะไม่มีนักวิจัยท่านใดในประเทศไทยให้ความสนใจที่จะวิจัยเพื่อนำเสนอทความวิจัยตีพิมพ์เผยแพร่ พัฒนาเครื่องตรวจจับโลหะขึ้นมาใช้งานเอง แต่ขายเองในประเทศไทย ซึ่งแน่นอนที่สุด ประโยชน์ที่ได้รับจากการสร้างเครื่องตรวจจับโลหะนั้นมีมากนายหลายประการและคุ้มค่าต่อการสร้างขึ้นมาใช้งานเองภายใต้ประเทศ

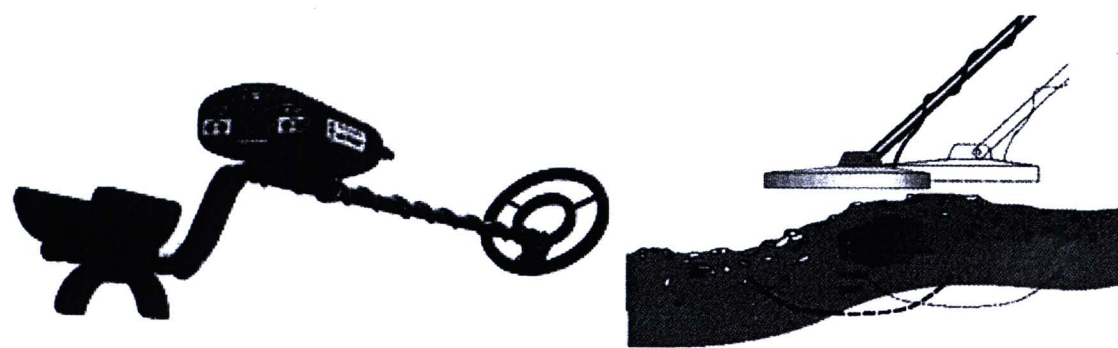
จากการค้นหาและรวบรวมข้อมูลต่างๆ เกี่ยวกับเครื่องตรวจจับโลหะที่มีขายในขณะนี้ และเผยแพร่ข้อมูลทางอินเตอร์เน็ต พบว่า ในปัจจุบันนี้ เครื่องตรวจจับโลหะถูกสร้างออกแบบโดยมี มากนายหลายชนิด โดยแต่ละชนิดมีข้อดีและข้อเสียที่แตกต่างกันไป ในที่นี้ จะอธิบายชนิดของ เครื่องตรวจจับโลหะที่ถูกจำแนกออกตามเทคโนโลยีที่ใช้งาน ซึ่งแบ่งออกได้เป็น 3 ประเภท คือ

2.1.1 เครื่องตรวจจับโลหะแบบ VLF (Very Low Frequency)

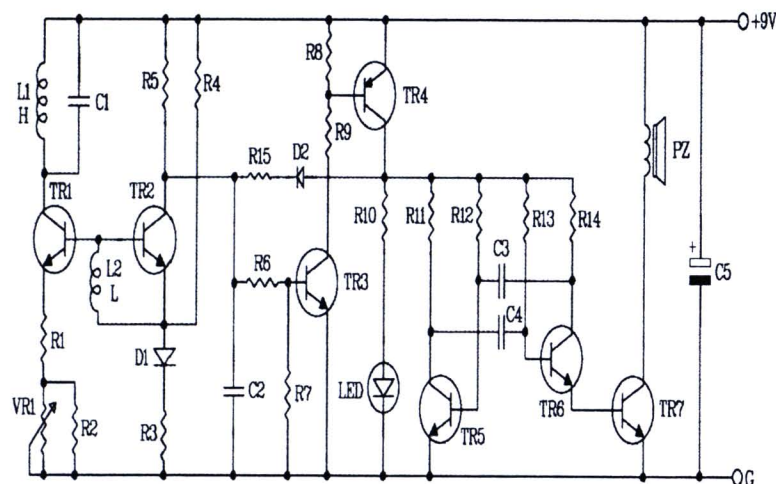
รูปที่ 2.1 และรูปที่ 2.2 แสดงรูปปั่นร่างและวงจรใช้งานของเครื่องตรวจจับโลหะแบบ VLF โดยเป็นเครื่องที่ใช้คลื่นวิทยุย่าง VLF (ย่านความถี่ต่ำมาก) ส่งไปยังโลหะ ส่วนของคอยส์จะ ประกอบด้วยชุด漉วที่ทำหน้าที่แตกต่างกัน 2 ชด คือ คอยส์ส่ง (transmitter Coil) เป็นชุด漉วอยู่ รอบนอก ทำหน้าที่ส่งคลื่นที่สร้างจากกระแสไฟฟ้าลับที่มีความถี่ประมาณ 6.6 kHz คอยส์รับ (Receiver Coil) เป็นชุด漉วอยู่ร่องใน ทำหน้าที่เเสมื้อนเสาอากาศที่อยู่รับสัญญาณ

หลักการทำงาน คือ เมื่อกระแสไฟฟ้าไหลผ่านเข้าไปในคอยส์ส่ง จะเกิดการสร้าง สนามแม่เหล็กไฟฟ้าขึ้นรอบคอยส์ โดยทิศทางของสนามแม่เหล็กจะมีทิศพุ่งลงไปยังพื้นดิน เมื่อ คลื่นที่ส่งออกไปจากคอยส์ส่งกระทบกับโลหะ จะเกิดการสะท้อนของคลื่นกลับขึ้นมาด้วยทิศ ทางการโพโรไอลซ์ที่ตรงข้ามกับคลื่นที่ส่งออกไป ทำให้คอยส์รับที่รับได้เฉพาะคลื่นที่มีการโพโรไอลซ์ ในทิศทางหนึ่งๆ สามารถแยกแยะได้ว่าคลื่นที่รับได้นั้นเป็นคลื่นจากคอยส์ส่ง หรือคลื่นที่สะท้อน มาจากโลหะ จากนั้นสัญญาณที่ได้จะถูกนำไปเข้าวงจรขยายสัญญาณและออกแบบลำโพง

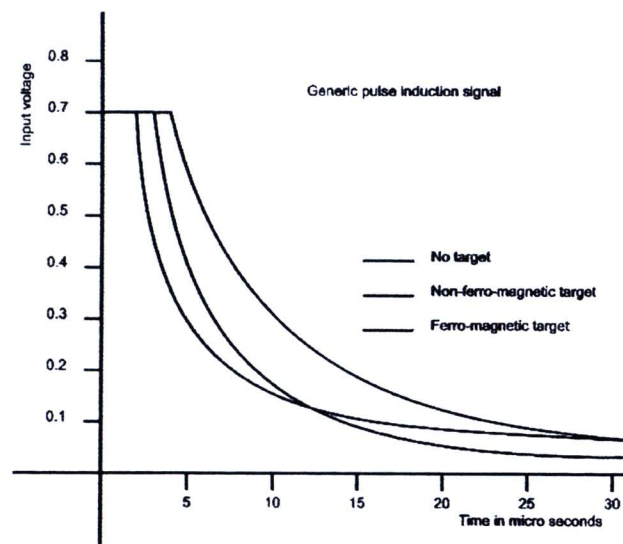
นอกจากนี้ เครื่องตรวจจับโลหะแบบ VLF นี้ยังสามารถแยกแยะชนิดของวัตถุได้โดย อาศัยการเลื่อนเฟสของสัญญาณที่ส่งออกไป (Phase Shifting) ซึ่งการเลื่อนเฟสนี้เกิดขึ้นจากปัจจัย 2 ประการ คือ ค่าความหน่วงนำและค่าความด้านทาน ซึ่งวัตถุที่นำไฟฟ้าทุกชนิดมีค่าความหน่วงนำ และค่าความด้านทานคงที่เสมอ โดยอาศัยหลักการที่ว่า วัตถุที่มีค่าความหน่วงนำสูง จะมีการเลื่อน เฟสได้มาก ส่วนวัตถุที่มีความด้านทานสูง จะมีการเลื่อนเฟสน้อย จึงทำให้สามารถแยกแยะความ แตกต่างของโลหะได้ ซึ่งจะตรวจจับสัญญาณว่ามีการเลื่อนเฟสไปเท่าไรและประมาณผลว่าวัตถุที่ พบรูปเป็นโลหะหรือขยะ โดยการตอบสนองของสัญญาณไฟฟ้าที่มีต่อโลหะนี้แสดงไว้ในรูปที่ 2.3



รูปที่ 2.1 รูป่างของเครื่องตรวจจับโลหะแบบ VLF



รูปที่ 2.2 วงจรแอนะล็อกที่ประกอบไปด้วยอุปกรณ์ RLC ในเครื่องตรวจจับโลหะแบบ VLF



รูปที่ 2.3 ลักษณะการตอบสนองของสัญญาณไฟฟ้าที่มีต่อโลหะชนิดต่างๆ

2.1.2 เครื่องตรวจจับโลหะแบบ PI (Pulse Induction)

เครื่องตรวจจับโลหะแบบ PI (Pulse Induction) นี้มีโครงสร้างแสดงไว้ในรูปที่ 2.4 โดยเครื่องดังกล่าวจะประกอบไปด้วยคอยส์หนึ่งขดที่ทำหน้าที่เป็นหัวตัวส่งและรับ คอยส์จะส่งพลังงานเป็นลูกคลื่นสั้นๆ ออกไป เมื่อแอนเพลิจูดของลูกคลื่นกระเพื่อมเข้าไปจนถึงค่าสูงสุด มันจะลดความเข้มลง โดยกลับทิศทางอย่างทันทีทันใด เกิดเป็นลูกคลื่นที่มีลักษณะแหลมมาก ขณะที่เครื่องตรวจอยู่เหนือโลหะ ลูกคลื่นจะวิ่งไป反rebounce ทิศทางกับวัตถุ และสะท้อนกลับมา เครื่องจะสามารถแยกแยะได้ว่าระยะเวลาของการสะท้อนยาวหรือสั้น ถ้าระยะเวลายาวกว่าปกติ จะแสดงว่า วัตถุที่อยู่ใต้พื้นดินนั้นเป็นโลหะ จากนั้นสัญญาณที่สะท้อนกลับมา จะถูกส่งผ่านไปที่เครื่องขยายเสียง และขับออกทางลำโพง ข้อเสียของเครื่องตรวจจับโลหะแบบ PI คือ เวลาในการสะท้อนนั้น ไม่สามารถแยกแยะชนิดของโลหะได้ แต่ยังจะใช้ได้ในตัวกลางที่มีการนำไฟฟ้าสูงและสามารถหาโลหะที่อยู่ใต้ดินลึกๆ ได้ ซึ่งเครื่องตรวจจับโลหะแบบ VLF ทำไม่ได้

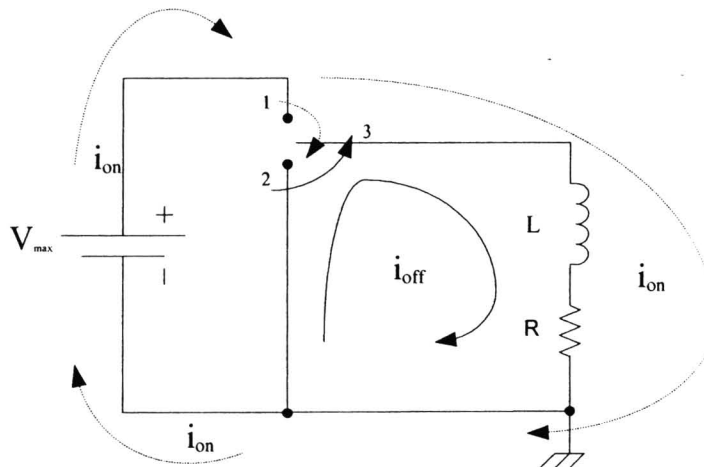


รูปที่ 2.4 เครื่องตรวจจับโลหะแบบ PI

2.1.3 เครื่องตรวจจับโลหะแบบ BFO (Beat Frequency Oscillation)

เครื่องตรวจโลหะประเภทนี้ ประกอบด้วยคอยส์ 2 ชุด คือคอยส์ใหญ่ และคอยส์เล็ก โดยคอยส์อันใหญ่เป็นตัวส่งสัญญาณ ส่วนคอยส์อันเล็กที่อยู่ในกล่องควบคุมจะเป็นตัวรับสัญญาณ คอยส์แต่ละอันจะต่อเข้ากับเครื่องของอสซิลเลเตอร์ที่ให้กำเนิดความถี่เท่ากัน

ขณะที่กระแสไฟฟ้าสลับไหลผ่านเข้าไปในคอยส์แต่ละอัน คอยส์ใหญ่จะให้กำเนิดคลื่นวิทยุ และส่งไปที่วัตถุใต้พื้นดิน เมื่อคลื่นกระแทกกับวัตถุ สนามแม่เหล็กที่เกิดขึ้นภายในวัตถุจะทำให้ความถี่ของคลื่นที่สะท้อนกลับเปลี่ยนไปเล็กน้อย เมื่อคอยส์เล็กรับคลื่นที่สะท้อนกลับมา มันจะทำการเปรียบเทียบความถี่ของอสซิลเลเตอร์กับความถี่ที่รับได้ ความแตกต่างของความถี่นี้ทำให้เกิดเดียงบีตขึ้นมาในภายหลัง



รูปที่ 2.5 วงจรไฟฟ้าที่ทำหน้าที่เป็นวงจรเปิด/ปิดพัลส์แบบใหม่ที่นำเสนอด้วยจุด 1, 2 และ 3

2.2 ทฤษฎีวงจรไฟฟ้าพื้นฐาน

ในหัวข้อนี้จะนำเสนองานของวงจรไฟฟ้าแบบใหม่ที่นำเสนอด้วยจุด 1, 2 และ 3 เป็นตัวเลขกำกับของ วงจรเปิด/ปิดพัลส์ โดยจะกล่าวถึงทฤษฎีวงจรไฟฟ้าพื้นฐาน¹ ที่ใช้ในการออกแบบไฟฟ้าที่เกิดขึ้นในวงจรเปิด/ปิดพัลส์ที่ได้ทำการออกแบบ โดยในรูปที่ 2.5 แสดงวงจรไฟฟ้าที่ทำหน้าที่เป็นวงจรเปิด/ปิดพัลส์แบบใหม่ที่นำเสนอด้วยตัวเลข 1, 2 และ 3 เป็นตัวเลขกำกับของ ทรานซิสเตอร์ โดยในที่นี่ เรานำทรานซิสเตอร์มารаТำงาณในโหมด Switching และต่อใช้งานเป็นแบบ Common Emitter เพื่อทำหน้าที่เปิด/ปิดกระแสไฟฟ้าที่ให้ในวงจร เมื่อว่าเป็นการชาร์ต และดีศาร์ตกระแสไฟฟ้าที่ให้เข้า/ออกจากคลัวด ตามลำดับ ดังนั้น เราสามารถวิเคราะห์การทำงานของวงจรดังกล่าวได้ 2 กรณี คือ กรณีที่ 1 Contact 1 กับ 3 ต่อกัน (ปิดวงจร) กระแสไฟฟ้าที่ไหลมีค่า i_{on} และ กรณีที่ 2 Contact 2 กับ 3 ต่อกัน (เปิดวงจร) กระแสไฟฟ้าที่ไหลมีค่า i_{off}

2.2.1 วิเคราะห์การทำงานในสภาวะปิดวงจร

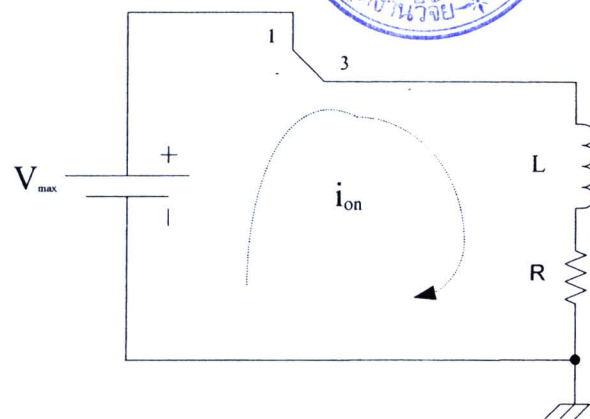
รูปที่ 2.6 แสดงวงจรไฟฟ้ารูปที่ 2.5 ในสภาวะที่ Contact 1 กับ 3 เชื่อมต่อกัน (ปิดวงจร) โดยจะหากระแสไฟฟ้าที่ไหลในวงจร i_{on} ได้จากการพิจารณาใช้กฎ KVL ดังนี้

$$V_{max} - L \frac{dI}{dt} = IR \quad (2.1)$$

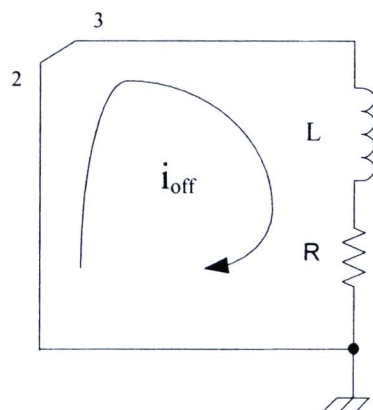
$$I = \frac{V_{max}}{R} (1 - e^{-\frac{Rt}{L}}) \quad (2.2)$$

$$\text{ดังนั้น} \quad i_{on} = I_0 (1 - e^{-\frac{t}{\tau}}) \quad \text{โดยที่} \quad \tau = \frac{L}{R} \quad \text{และ} \quad I_0 = \frac{V_{max}}{R} \quad (2.3)$$

¹S.R. Paranjothi. (2010). Electric Circuit Analysis. (3rd ed.). New Age Science.



รูปที่ 2.6 วงจรไฟฟ้ารูปที่ 2.5 ในสภาวะที่ Contact 1 กับ 3 เชื่อมต่อกัน (ปิดวงจร)



รูปที่ 2.7 วงจรไฟฟ้ารูปที่ 2.5 ในสภาวะที่ Contact 2 กับ 3 เชื่อมต่อกัน (เปิดวงจร)

2.2.2 วิเคราะห์การทำงานในสภาวะเปิดวงจร

รูปที่ 2.7 แสดงวงจรไฟฟ้ารูปที่ 2.5 ในสภาวะที่ Contact 2 กับ 3 เชื่อมต่อกัน (เปิดวงจร) โดยจะหากระแสไฟฟ้าที่ไหลในวงจร i_{off} ได้จากการพิจารณาใช้กฎ KVL ดังนี้

$$L \frac{dI}{dt} = IR \quad (2.4)$$

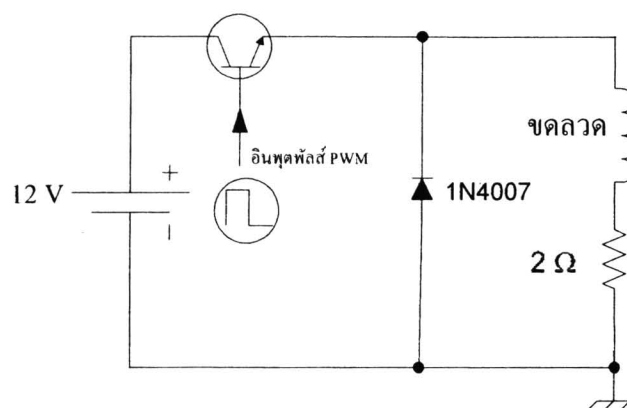
$$I_{off} = e^{-\frac{Rt}{L}} \quad (2.5)$$

$$\text{ค้างนั้น} \quad i_{off} = e^{-\frac{t}{\tau}} \quad \text{โดยที่ } \tau = \frac{L}{R} \quad (2.6)$$

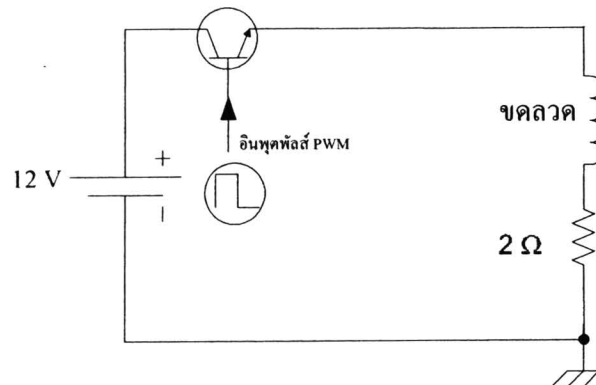
จากการวิเคราะห์วงจรไฟฟ้าทั้ง 2 กรณี พบว่าปัจจัยที่มีผลคือค่าความต้านทาน (R) และค่าความเหนี่ยวนำ (L) จากการทดลองเพื่อวัดค่าเหนี่ยวนำที่เกิดขึ้นจากวงจรไฟฟ้าดังกล่าว โดยนำโลหะมาวางอยู่ห่างจากคลัวด ระบบห่างค่าต่างๆ กัน แล้วทำการวัดค่า L เครื่องมือวัดค่า RLC ในห้องปฏิบัติการระบบวัดคุณ มหาวิทยาลัยธุรกิจบัณฑิตย์ พบว่า ค่า L ที่วัดได้เกิดการเปลี่ยนแปลง สาเหตุหลักที่ทำให้ค่า L เกิดการเปลี่ยนแปลงเมื่อมีวัตถุโลหะมาอยู่ใกล้กับคลัวด นั้นสามารถที่จะอธิบายได้โดยอาศัยทฤษฎีสนามแม่เหล็กดังนี้ “เมื่อชุดคลัวดอยู่ใกล้กับโลหะ ค่า μ_r (ค่าสภาพความซึมซาบ หรือ permeability ของคลัวด) มีค่าลดลง ในทางกลับกัน ถ้าวัตถุอยู่ห่างออกไปจากโลหะไปเรื่อยๆ ค่า μ_r จะมีค่าที่เพิ่มขึ้น จนกระทั่งค่า μ_r มีค่าเท่ากับ μ_{air} (ค่าสภาพความซึมซาบของอากาศ)” ซึ่งถ้าเลือกคลัวด (ตัวเหนี่ยวน้ำหรือสัญลักษณ์ L ในวงจรรูปที่ 2.5) เปอร์ไพล์ขึ้น แต่จำนวนรอบในการพันมีค่าเท่าเดิม จะทำให้ค่าความเหนี่ยวนามีค่าที่สูงขึ้น ความต้านทานในวงจรมีค่าลดลง จะส่งผลดีต่อวงจรเปิด/ปิดพัลส์แบบใหม่ที่นำเสนอคือ จะทำให้วงจรมีความไว (Sensitivity) ในการตรวจจับโลหะได้ดีขึ้น

2.3 การประยุกต์ใช้งานทรานซิสเตอร์ร่วมกับสัญญาณพัลส์ PWM

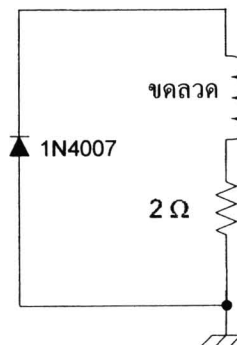
ในหัวข้อนี้จะกล่าวถึงหลักการทำงานของทรานซิสเตอร์ที่ถูกนำมาใช้งานร่วมกับสัญญาณพัลส์ PWM (Pulse Width Modulation) ในงานวิจัยฉบับนี้ จึงทำให้วงจรรูปที่ 2.5 ถูกแก้ไขใหม่โดยวางทรานซิสเตอร์และไดโอดเข้าไปเพิ่มเติมในวงจรดังแสดงในรูปที่ 2.8 โดยทรานซิสเตอร์ในวงจรรูปที่ 2.8 นั้นถูกกำหนดให้ทำงานภายใต้สภาพที่กำหนด 2 ลักษณะ คือ เปิดวงจรกับปิดวงจร ซึ่งเป็นไปตามหลักการทำงานโดยปกติของทรานซิสเตอร์อยู่แล้ว ซึ่งการทำงานใน 2 ลักษณะดังกล่าววนซึ่นกับระดับแรงดันของสัญญาณพัลส์ PWM ที่ป้อนให้แก่ทรานซิสเตอร์ ซึ่งจะถูกอธิบายได้ดังนี้



รูปที่ 2.8 วงจรไฟฟ้าที่พัฒนาเพิ่มขึ้นจากวงจรรูปที่ 2.5 โดยมีการต่อทรานซิสเตอร์และไดโอด



รูปที่ 2.9 ทรานซิสเตอร์ทำงาน โดยอยู่ในสภาวะปิดวงจร



รูปที่ 2.10 ทรานซิสเตอร์ไม่ทำงาน อยู่ในสภาวะเปิดวงจร

2.3.1 หลักการทำงานของทรานซิสเตอร์ในสภาวะปิดวงจร

รูปที่ 2.9 แสดงวงจรไฟฟ้ารูปที่ 2.8 ในสภาวะที่ทรานซิสเตอร์ทำงาน (สภาวะปิดวงจร) กล่าวคือ มีระดับแรงดัน 5 โวลต์ป้อนเข้าที่ขาเบส (Base) ของทรานซิสเตอร์ ในที่นี้คือ ความกว้างพัลส์ด้านบวกของสัญญาณ PWM (Pulse On) ที่ป้อนเข้าขาเบส นั่นเอง โดยในรูปที่ 2.9 นี้ กระแสไฟฟ้าจะไหลในวงจรเป็นแบบลุปปิด จึงทำให้ขาดลวด (ตัว L ในวงจรรูปที่ 2.5) เริ่มสะสมพลังงานภายในช่วงระยะเวลาหนึ่งที่มีค่าเท่ากับระยะเวลาของความกว้างพัลส์ด้านบวกของสัญญาณ PWM ที่ป้อนเข้าขาเบส

2.3.2 หลักการทำงานของทรานซิสเตอร์ในสภาวะเปิดวงจร

รูปที่ 2.10 แสดงวงจรไฟฟ้ารูปที่ 2.8 ในสภาวะที่ทรานซิสเตอร์ไม่ทำงาน (สภาวะเปิดวงจร) กล่าวคือ มีระดับแรงดันที่ต่ำประมาณ 0 โวลต์ป้อนเข้าที่ขาเบสของทรานซิสเตอร์ ในที่นี้คือ ความกว้างพัลส์ด้านลบของสัญญาณ PWM (Pulse Off) ที่ป้อนเข้าขาเบส นั่นเอง โดยในรูปที่ 2.10 นี้ กระแสไฟฟ้าจะไหลในวงจรเป็นแบบลุปปิดเช่นกัน แต่แหล่งกำเนิดกระแสไฟฟ้าและทรานซิสเตอร์ถูกตัดออกไปจากวงจรในรูปที่ 2.8 นั่นก็หมายความว่า ขาดลวด

จะพยายามลดลงและในช่วงแรก แรงดันตกคร่อมไอดิโอดจะมีค่าคงที่ แต่หลังจากที่ขดลวดภายในชุดทำงานไปแล้ว กระแสไฟฟ้าผ่านไอดิโอดจะมีค่าเข้าใกล้ศูนย์ ทำให้แรงดันตกคร่อมไอดิโอดมีค่าเท่ากับศูนย์ด้วย

จากการทดสอบในทางปฏิบัติ พบว่า โลหะต่างชนิดกันในระยะห่างที่ชิ้นงานรับรู้ได้ พนบว่า จะมีค่าความเหนี่ยวแน่นไม่เท่ากัน เมื่อป้อนค่า Pulse On ที่แตกต่างกัน จะแสดงคุณลักษณะ (Characteristics) ผลตอบสนองตัดศูนย์ของค่ากระแสไฟฟ้าในขดลวดได้ชัดเจนยิ่งขึ้น เมื่อเราทำการตรวจจับระยะเวลาเมื่อเริ่มเกิด Pulse Off ไปจนถึงแรงดันตกคร่อมไอดิโอดมีค่าเท่ากับ 0

เมื่อกระแสไฟฟ้าผ่านขดลวดจะเกิดสนามแม่เหล็กไปเหนี่ยวแน่นโลหะ ทำให้เกิด Eddy Current บนผิวของโลหะ ซึ่งส่งผลต่อค่าความเหนี่ยวแน่นในเชิงวงจรไฟฟ้าด้วยเห็นกัน โดยจะเป็นการส่งต่อพลังงานจากขดลวดไปสู่ผิวของโลหะที่อยู่ใกล้ๆ ซึ่งชนิดโลหะต่างกันจะมีความต้านทานไฟฟ้าที่ต่างกันและส่งผลให้ค่า $T_{discharge}$ ต่างกันด้วย โดย $T_{discharge}$ เป็นค่าผลต่างของค่าเวลาตั้งแต่จุดเวลาที่กระแสไฟฟ้าในขดลวดเริ่มที่จะลดลง (เริ่มการส่ง Pulse Off) ไปจนถึงจุดเวลาที่ค่าแรงดันตกคร่อมไอดิโอดมีค่าเท่ากับศูนย์

2.4 ทฤษฎีการพันเส้นลวดเป็นรูปวงกลม

จากการศึกษาค้นคว้างานวิจัยที่เกี่ยวข้องกับเครื่องตรวจจับโลหะ พบว่า ในงานวิจัย² ได้ทำการศึกษาเกี่ยวกับเครื่องตรวจจับโลหะที่อาศัยหลักการเหนี่ยวแนด้วยพัลส์โดยใช้การประมวลผลสัญญาณแบบดิจิทัล จากรายงานวิจัยดังกล่าวได้นำเสนอค่าเส้นลวดที่มีขนาดเส้นผ่านศูนย์กลางตั้งแต่ 0.40 – 0.80 mm โดยมีค่าคุณสมบัติทางกายภาพในทางทฤษฎีที่คำนวณได้ดังแสดงในรูปที่ 2.11 ซึ่งถึงแม้ว่าขนาดและรูปร่างทางกายภาพของขดลวดจะนำมาพันเป็นรูปวงกลมหรือสี่เหลี่ยมที่แตกต่างกันในการใช้งานก็ตาม แต่ค่าความเหนี่ยวแน่นและความต้านทานของขดลวดแต่ละแบบนั้นก็มีค่าแตกต่างกันเพียงเล็กน้อยเท่านั้น ซึ่งมีค่าอยู่ระหว่าง 380 – 406 μH และ 1.6 – 2.3 โอห์ม ตามลำดับ โดยขดลวดที่มีขนาดเล็กกว่า ย่อมจะต้องมีจำนวนรอบของขดลวดที่มากขึ้นด้วย ซึ่งโดยทั่วไป ค่าความเหนี่ยวแน่นที่เหมาะสมและเป็นที่ยอมรับใช้งานในเครื่องตรวจจับโลหะที่ใช้หลักการการเหนี่ยวแนด้วยพัลส์ (Pulse Induction Metal Detector) จะมีค่าอยู่ระหว่าง 300 – 500 μH ซึ่งในงานวิจัย¹ นี้ก็ได้เลือกใช้ค่าความเหนี่ยวแน่นของขดลวดที่ใช้ในการทดลองเพื่อตรวจจับโลหะก็มีค่าเท่ากับ 400 μH

¹ Pulse induction metal detector with DSP. from http://www.lammertbies.nl/electronics/PI_metal_detector.html.



Size	Shape	Turns	Wire size	Inductance	Resistance
Ø 120 mm	Round	36	Ø 0.40 mm / 0.14 mm ²	405 µH	1.9 Ohm
Ø 150 mm	Round	31	Ø 0.40 mm / 0.14 mm ²	394 µH	2.0 Ohm
Ø 175 mm	Round	28	Ø 0.40 mm / 0.14 mm ²	387 µH	2.1 Ohm
Ø 200 mm	Round	26	Ø 0.40 mm / 0.14 mm ²	406 µH	2.2 Ohm
Ø 250 mm	Round	22	Ø 0.40 mm / 0.14 mm ²	380 µH	2.3 Ohm
Ø 300 mm	Round	20	Ø 0.50 mm / 0.20 mm ²	390 µH	1.6 Ohm
Ø 400 mm	Round	17	Ø 0.50 mm / 0.20 mm ²	396 µH	1.8 Ohm
Ø 500 mm	Round	15	Ø 0.50 mm / 0.20 mm ²	400 µH	2.0 Ohm
1.0 x 1.0 m	Square	10	Ø 0.66 mm / 0.34 mm ²	406 µH	2.0 Ohm
1.4 x 1.4 m	Square	8	Ø 0.66 mm / 0.34 mm ²	387 µH	2.2 Ohm
1.8 x 1.8 m	Square	7	Ø 0.80 mm / 0.50 mm ²	398 µH	1.7 Ohm

รูปที่ 2.11 คุณสมบัติทางกายภาพในทางทฤษฎีที่คำนวณได้ของขดลวดที่มีรูปทรงและขนาดต่างๆ

ดังนั้น ในงานวิจัยที่นำเสนอบันนี้จึงได้นำเส้นลวดที่มีขนาดห้องตลาดที่มีเส้นผ่าศูนย์กลางขนาด 0.40 mm หรือมีพื้นที่หน้าตัดประมาณ 0.14 mm² และมีจำนวนหุ้มนาพันเป็นขดลวดรูปวงกลมขนาดเส้นผ่าศูนย์กลางเท่ากับ 15 cm และกำหนดจำนวนรอบที่พันเป็นเลขลงตัวเท่ากับ 35 รอบ และมีความหนาของขดลวดประมาณ 1 cm เพื่อให้มีคุณสมบัติในการเลือกใช้งานตรงกับกรณีที่ 2 ของรูปที่ 2.13 หลังจากนั้น ทำการวัดค่าความเหนี่ยวแน่นและค่าความด้านทานของขดลวดที่ใช้ทดสอบดังกล่าว พนบ่วงว่า มีค่าความเหนี่ยวแน่เท่ากับ 420 µH และมีค่าความด้านทานเท่ากับ 2 โอห์ม ซึ่งเป็นค่าความเหนี่ยวแน่นและความด้านทานของขดลวดที่ใกล้เคียงกับค่าที่ปรากฏในกับกรณีที่ 2 ของรูปที่ 2.11 จริง อีกทั้งเป็นค่าความเหนี่ยวแน่ที่ใกล้เคียงกับงานวิจัย¹ ที่เลือกใช้ค่าความเหนี่ยวแน่ของขดลวดมีค่าเท่ากับ 400 µH ซึ่งในที่นี้ อาจจะกำหนดจำนวนรอบของการพันเส้นลวดเป็นขดลวดที่เป็นรูปทรงอื่นๆ หรือมีจำนวนรอบค่าอื่นๆ ก็ได้ แต่สิ่งที่สำคัญที่จะต้องคำนึงถึงเสนอในการใช้งานของขดลวดในการตรวจจับโลหะก็คือ ค่าความเหนี่ยวแน่นและความด้านทานของขดลวดที่ใช้งานจะต้องมีค่าที่ใกล้เคียงกับ 400 µH และ 2 โอห์ม ตามลำดับ

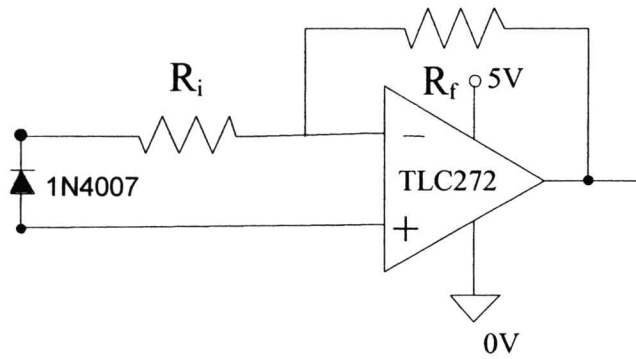
นอกจากนี้ ค่าความเหนี่ยวแน่ของขดลวด 420 µH ที่ใช้ในงานวิจัยฉบับนี้ยังเป็นค่าที่ถูกต้องและสามารถยืนยันที่มาของค่าความเหนี่ยวแน่ดังกล่าวได้ โดยอาศัยสมการการหาค่าความเหนี่ยวแน่ที่คำนวณได้จากสมการที่ 2.7²

$$L = \frac{(d^2 n^2)}{(l + 0.45d)} \quad (2.7)$$

¹ Pulse induction metal detector with DSP. from http://www.lammertbies.nl/electronics/PI_metal_detector.html.

² Single-layer Coil Inductance and Q. from <http://www.qsl.net/in3otd/indcalc.html>.

สำเนางานทดลองวิจัยแห่งชาติ
ห้องสมุด วิจัย
วันที่ ๖ ก.ค. ๒๕๕๘
เลขที่บันทึก..... 216558
เลขเรื่องงานสืบ.....



รูปที่ 2.12 วงจรไฟฟ้ารูปที่ 2.5 ในสภาวะที่ Contact 1 กับ 3 เชื่อมต่อกัน (ปิดวงจร)

กล่าวคือ เมื่อทำการป้อนค่าพารามิเตอร์ต่างๆ ที่กำหนดในการพัฒนาคลอดเข้าไปในสมการที่ 2.7 เราจะค่าความหน่วงนำที่คำนวณได้มีค่าเท่ากับ $415 \mu\text{H}$

อ้างถึงรูปที่ 2.6 หัวข้อที่ 2.2 ทฤษฎีวงจรไฟฟ้าพื้นฐาน ซึ่งเป็นวงจรไฟฟ้าที่ใช้ออกแบบและสร้างวงจรเปิด/ปิดพลัสด้วยแก๊สคลอด พบร่วม หลังจากที่ได้ค่าความหน่วงนำที่ใช้งาน (L) เท่ากับ $420 \mu\text{H}$ และรู้ค่า Ampere Max ที่ทันได้ของเส้นลวดที่เลือกใช้งาน โดยดูจากคุณค่าของลวดทองแดง (American Wire Gauge หรือ AWG) แล้ว เราจะสามารถคำนวณหาค่า R ที่ใช้ในวงจรเปิด/ปิดพลัสด้วยรูปที่ 2.6 ได้โดยอาศัยสมการที่ (2.8) ซึ่งในที่นี้ เราจะแทนค่า V_{\max} เท่ากับ 12 โวลต์และ Ampere Max เท่ากับ 6 แอมป์ ดังแสดงในสมการที่ (2.9) - (2.10)

$$\frac{V_{\max}}{\text{Ampere Max}} \leq R \quad (2.8)$$

$$\frac{12 \text{ V}}{6 \text{ A}} \leq R \quad (2.9)$$

$$R \geq 2 \Omega \quad (2.10)$$

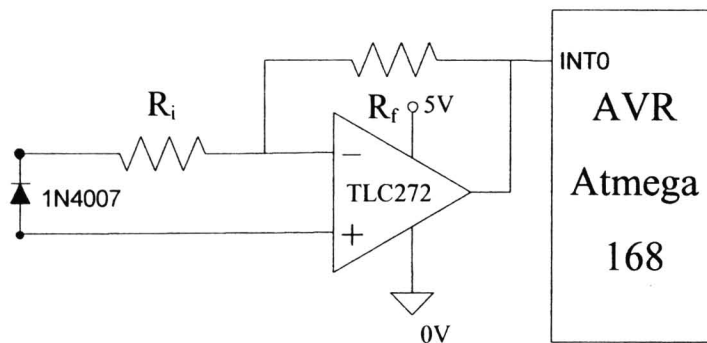
ดังนั้น ตัวต้านทาน R ที่คำนวณได้และนำมาใช้ในวงจรเปิด/ปิดพลัสด้วยสามารถจะเลือกใช้ค่าใดๆ ก็ได้ แต่จะต้องมีค่ามากกว่าหรือเท่ากับ 2 โอห์ม ซึ่งในงานวิจัยฉบับนี้ เลือกใช้งานค่าความต้านทานที่มีค่าต่ำสุดเท่ากับ 2 โอห์ม ดังแสดงในรูปที่ 2.14

2.5 การตรวจจับค่าแรงดันต่ำคร่อมໄ/do/dm/c/k/a/g/k/b/n/y

ในหัวข้อนี้จะกล่าวถึงหลักการทำงานของการตรวจจับค่าแรงดันต่ำคร่อมໄ/do/dm/c/k/a/g/k/b/n/y ที่มีค่าเท่ากับ 0 โคลนนำอปเปอเรเตอร์ (Operational Amplifier) มาต่อใช้งานเพื่อบรรยายสัญญาณอินพุตแบบ

Inverting Amplifier ดังแสดงในรูปที่ 2.12 โดยในที่นี้ จะเลือกไคโอดที่ทนรับกระแสไฟฟ้าได้มากกว่าค่า Ampere Max ของวงจรเปิด/ปิดพัลส์ที่มีค่าเท่ากับ 6 แอมเพียร์ (อธิบายไว้ในหัวข้อที่แล้ว) และในวงจรที่ออกแบบนี้จะมีค่าแรงดันต่อกคร่อมไคโอด (V_d) ประมาณ 0.3 – 0.8 โวลต์ แล้วแต่ชนิดของไคโอดที่ใช้งาน ในที่นี้ เราเลือกใช้งานไคโอดเบอร์ 1N4007 ซึ่งเป็นไคโอดที่มีค่า t_{on} กับ t_{off} ต่ำ และมีค่า V_d ประมาณ 0.65 โวลต์ ซึ่งในความเป็นจริง เราจะเลือกใช้ไคโอดเบอร์ใดก็ได้ แต่สิ่งที่ต้องคำนึงถึงในการเลือกใช้งานไคโอดในวงจรที่นำเสนอี้คือ ไคโอดดังกล่าวจะต้องมีค่าทำงานโดยนิ่มค่า t_{on} กับ t_{off} ที่ต่ำ เพื่อที่ว่าวงจรเปิด/ปิดพัลส์จะสามารถตอบสนองหรือทำงานได้อย่างรวดเร็วตามต้องการ รวมถึงมีค่า V_d อยู่ระหว่าง 0.3 – 0.8 โวลต์

เหตุผลที่สำคัญที่เลือกอัตราขยายของอปแอมป์มีค่าเท่ากับ 25 เท่า ก็เพราะว่า “เราต้องการสร้างสัญญาณเอาต์พุตของวงจรเปิด/ปิดพัลส์ (ขาเอาต์พุตของอปแอมป์) ที่มีการเปลี่ยนแปลงของระดับแรงดันไฟฟ้า 1 จากระดับแรงดันไฟฟ้า 5 โวลต์ไปเป็นระดับแรงดันไฟฟ้า 0 โวลต์ เปรียบเสมือนเป็น “สัญญาณพัลส์ขึ้นขาลง (Falling Edge Trigger)” ที่ชัดเจน ซึ่งเราสามารถนำสัญญาณพัลส์ขึ้นขาลงดังกล่าวไปกระตุ้นขาอินเทอร์รัปต์ภายนอกช่องที่ 0 (INT 0) ของไมโครคอนโทรลเลอร์ AVR ATmega168 เพื่อให้เกิดการอินเทอร์รัปต์และทำงานเพื่อตรวจจับระยะเวลาที่เกิดผลตอบสนองตัดสูญญากาศไฟฟ้าในคลื่นได้ ดังแสดงในรูปที่ 2.13



รูปที่ 2.13 วงจรที่ต่อเอาต์พุตของอปแอมป์เข้าขาอินเทอร์รัปต์ภายนอกช่องที่ 0 ของ ATmega168

จากการที่เรานำอปแอมป์ TLC272 มาต่อใช้งานแบบ Inverting Amplifier และกำหนดให้ระดับแรงดันอินพุต V_{in} และระดับแรงดันอินพุต V_{out} มีค่าเท่ากับ 0.2 โวลต์ และ 5 โวลต์ ตามลำดับ นั้น เราสามารถที่จะหาค่าของ R_i กับ R_f เพื่อนำมาใช้งานวงจรเปิด/ปิดพัลส์ที่นำเสนอังในรูปที่ 2.13 ได้โดยใช้สมการที่ 2.11 – 2.13 ดังนี้

$$V_{out} = V_{in} \left(1 + \frac{R_f}{R_i} \right) \quad (2.11)$$

$$5 = 0.2 * \left(1 + \frac{R_f}{R_i} \right) \quad (2.12)$$

$$\frac{R_f}{R_i} = 24 \quad (2.13)$$

ในที่นี้ ถ้าเราเลือกใช้งานตัวต้านทาน R_i มีค่าเท่ากับ $1\text{k}\Omega$ และนำค่า R_i นี้ไปแทนลงในสมการที่ (2.13) เราได้ตัวต้านทาน R_f มีค่าเท่ากับ $24\text{k}\Omega$

ดังนั้น จะเห็นได้ว่า หลักการทำงานของการตรวจจับค่าแรงดันต่อกรุ่มได้โดยมีค่าเท่ากับ 0 โดยนำอปเปนปีมาต่อใช้งานเพื่อยายสัญญาณอินพุตแบบ Inverting Amplifier ดังแสดงในรูปที่ 2.13 นั้นสามารถนำมาใช้งานได้ดีในงานวิจัยบันนี้ โดยสัญญาณเอาต์พุตของอปเปนปีมีการเปลี่ยนแปลงระดับแรงดันไฟฟ้าอยู่ระหว่าง 5 โวลต์กับ 0 โวลต์อย่างชัดเจน ซึ่งเปรียบเสมือนเป็นสัญญาณพัลส์ที่สามารถนำไปกระตุ้นขาอินเทอร์รัปต์ภายนอกช่องที่ 0 ของ AVR ATmega168 เพื่อให้เกิดการอินเทอร์รัปต์และ AVR ATmega168 ตรวจจับระยะเวลาที่เกิดผลตอบสนองตัดศูนย์ของกระแสไฟฟ้าในคลอดได้อย่างมีประสิทธิภาพและเชื่อถือได้

2.6 วงจรเปิด/ปิดสัญญาณพัลส์ให้แก่คลอด

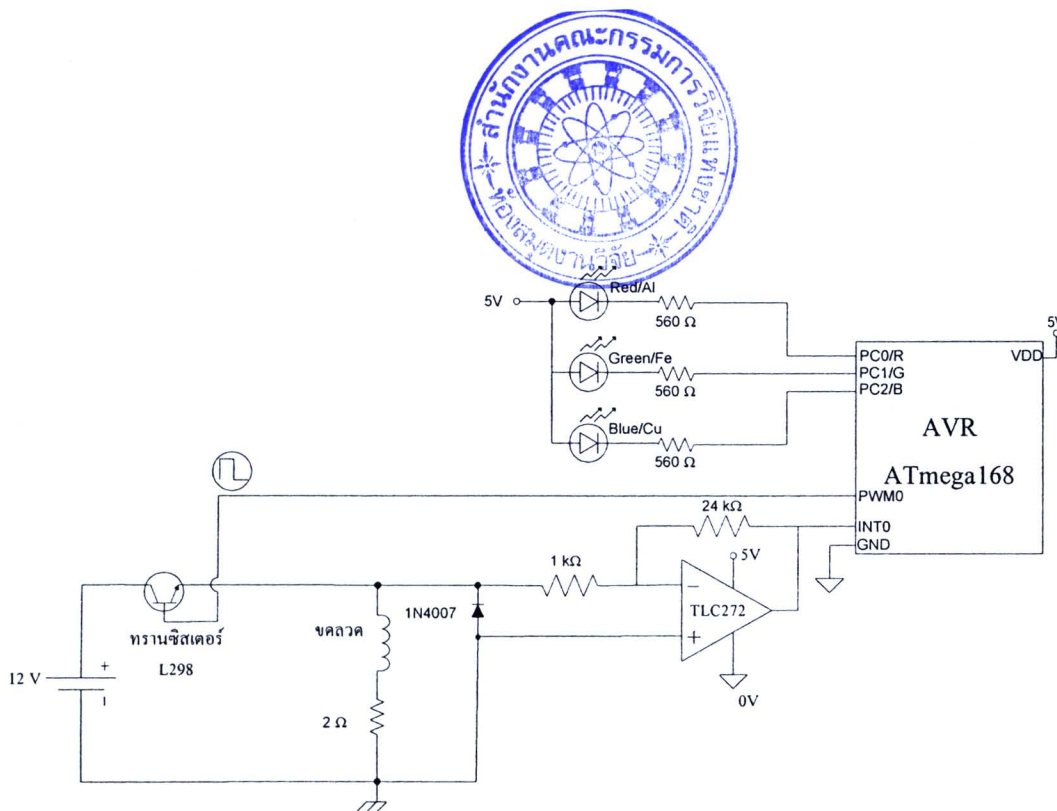
โดยทั่วไป วงจรเปิด/ปิดพัลส์ให้แก่คลอด (Coil Driver) ที่มีใช้งานในเครื่องตรวจจับโลหะนั้น^{1,2} มีหน้าที่หลักที่สำคัญคือทำหน้าที่เปิดและปิดสัญญาณพัลส์ PWM ให้แก่คลอดและส่งผ่านผลตอบสนองเชิงเวลาของขالงของกระแสไฟฟ้าในคลอดที่ตรวจจับได้จากโลหะแต่ละชนิดที่ทดสอบไปยังวงจรแอนะล็อกที่ทำการอุปกรณ์ RLC หลังจากนั้น จะนำค่าแรงดันไฟฟ้าหรือกระแสไฟฟ้าไปประมวลผลและระบุชนิดของโลหะที่ตรวจจับได้ต่อไป โดยเครื่องตรวจจับโลหะที่ขายโดยทั่วไปจะมีวงจรเปิด/ปิดสัญญาณพัลส์ให้แก่คลอดที่แตกต่างกัน ขึ้นอยู่กับราคากลางและคุณภาพของเครื่องตรวจจับโลหะ

ในงานวิจัยบันนี้จะออกแบบและนำเสนอจรวจอิเล็กทรอนิกส์เพื่อทำหน้าที่เปิด/ปิดสัญญาณพัลส์ให้แก่คลอด (Coil Driver) ขึ้นมาใหม่โดยอ้างอิงหลักการเหนี่ยวนำด้วยพัลส์และวิธีการใช้งานในทางปฏิบัติ อีกทั้งยังนำใบโปรดค่อนโตรลเลอร์มาใช้ในการควบคุมการทำงานและสร้างสัญญาณพัลส์ PWM อีกด้วย ซึ่งในที่นี้ จะนำรูปวงจรที่ 2.8 และ 2.11 มาเชื่อมต่อกันเพื่อที่จะ

¹ J. A. Corbyn. (1980). Pulse Induction Metal Detector – 1 and 2. *Wireless World*.

² DeepTech Metal Detectors. (2007). Coil and Search Head Design – Patents and Utility Models (Part 1). from

www.deeptech-bg.com/search_coils.pdf.



รูปที่ 2.14 วงจรเปิด/ปิดพัลส์ให้แก่ขดลวด (Coil Driver)

ทำหน้าที่เป็นวงจรเปิด/ปิดพัลส์ให้แก่ขดลวด (ตัว L) ประโภชน์ที่ได้รับจากการใช้งานเปิด/ปิดพัลส์ใหม่ที่นำเสนองานคือ การออกแบบวงจรกระทำได้ง่าย มีเสถียรภาพและประสิทธิภาพสูง บำรุงรักษาง่าย โดยลดความยุ่งยากในการปรับจูนวงจรและออกแบบเดิมที่ใช้งานกันอยู่ในปัจจุบันนี้

วงจรเปิด/ปิดพัลส์ (Coil Driver) ทำหน้าที่เปิดและปิดสัญญาณพัลส์ PWM ให้แก่ขดลวด และส่งผ่านผลตอบสนองเชิงเวลาตัดศูนย์ของกระแสไฟฟ้าในขดลวดที่ต้องจับ ได้จากโลหะแต่ละชนิดที่ทดสอบไปยังไมโครคอนโทรลเลอร์ โดยรูปวงจรที่นำมาเสนอเป็นวงจรอิเล็กทรอนิกส์ที่ออกแบบขึ้นมาใหม่ โดยอ้างอิงหลักการเหนี่ยวแน่นด้วยพัลส์และวิธีการใช้งานในทางปฏิบัติ ดังแสดงไว้ในรูปที่ 2.14

2.6.1 หลักการทำงานของวงจรนี้ดังนี้

(1) เริ่มต้น ไมโครคอนโทรลเลอร์ AVR ATmega168 จะสร้างสัญญาณ PWM โดยใช้ไทรเมอร์ 0 ไปกรวยตุนให้ทรานซิสเตอร์ L298 ทำงานในสภาพะปีดวงจร ส่งผลให้กระแสไฟฟ้าจากแหล่งกำเนิดไฟฟ้าจะไหลผ่านวงจรให้แก่ขดลวดเพิ่มขึ้นเรื่อยๆ ในช่วงระยะเวลาหนึ่ง

(2) เมื่อไทรเมอร์ 0 สร้างพัลส์ของสัญญาณ PWM ค้านบวกเสริจสัมฤทธิ์ตามค่าความกว้างพัลส์บวกที่กำหนด ในขณะนั้น ทรานซิสเตอร์จะทำงานในสภาพะเปิดวงจร นั่นคือกระแสไฟฟ้าที่ไหลในขดลวดหรือวงจรจะเริ่มลดลงไปเรื่อยๆ จนกระทั่งกระแสไฟฟ้าที่ไหลในขดลวดมีค่าเท่ากับ 0

(3) ในขณะที่กระแสไฟฟ้าที่ไอลในขดลวดเริ่มมีค่าลดลง AVR ATmega168 จะเริ่มต้นสั่งการให้ไทรเมอร์ 1 ทำการจับระยะเวลาการลดลงของกระแสไฟฟ้าที่ไอลในขดลวด ซึ่งเริ่มจับเวลาตั้งแต่กระแสไฟฟ้าที่ไอลในขดลวดเริ่มมีค่าลดลงไปจนถึงเวลาที่กระแสไฟฟ้ามีค่าเท่ากับ 0

(4) เมื่อกระแสไฟฟ้าที่ไอลในขดลวดมีค่าเท่ากับ 0 จะทำให้อาต์พุตของวงจรที่ต่ออยู่กับขาพอร์ตอินเตอร์รัปต์ภายนอกช่องที่ 0 ของไมโครคอนโทรลเลอร์ทำงาน (ในที่นี้กำหนดให้มีการทำงานของสัญญาณอินเตอร์รัปต์เป็นแบบขอบขาลง) ซึ่งจะไปสั่งการให้ไทรเมอร์ 1 หยุดจับเวลา

(5) หลังจากนั้น AVR ATmega168 จะทำการบันทึกค่าระยะเวลาการลดลงของกระแสไฟฟ้าที่ไอลในขดลวด โดยในที่นี้ค่าระยะเวลาที่ตรวจจับได้จะเป็นจำนวนคลื่อคืนบ้านได้ในช่วงเวลาดังกล่าวในหน่วยเวลาของไทรเมอร์ 1 ซึ่งค่าต่างๆ ที่ใช้ในการคำนวณและขั้นตอนวิธี (อัลกอริทึม) ในการเขียนโปรแกรมใช้งานไทรเมอร์ 0 และไทรเมอร์ 1 ของไมโครคอนโทรลเลอร์ AVR ATmega168 จะอธิบายไว้ในหัวข้อที่ 3.1 และ 3.2 ตามลำดับ

2.7 ผลงานวิจัยที่เกี่ยวข้อง

การออกแบบเครื่องตรวจจับโลหะ โดยใช้หลักการเหนี่ยวนำด้วยพัลส์ (Pulse Induction <PI> Metal Detector) นั้นได้ถูกกล่าวถึงครั้งแรกในหนังสือต่างประเทศที่แต่งขึ้นโดย I. Grant, F.S. และ West, G.F.¹ ต่อมา J. A. Corbyn² ได้พัฒนาและนำเสนอองค์ความรู้ตรวจจับโลหะขึ้นมาใหม่ ซึ่งประกอบไปด้วยตัว R ตัว C และทรานซิสเตอร์เป็นจำนวนมาก ทำให้การทดสอบคุณสมบัติในการใช้งานนั้นกระทำได้ยากมาก ต้องเสียเวลาปรับจูนหลายครั้ง ก่อนที่จะใช้งานได้จริงและมีคุณสมบัติใช้งานที่เป็นไปตามความต้องการ ต่อจากนั้น ยังคงมีนักวิจัยและบริษัทต่างๆ หลายประเทศจำนวนมากได้ทำการวิจัย พัฒนา รวมไปถึงสร้างเพื่อขายเครื่องตรวจจับโลหะออกมาอย่างต่อเนื่อง ซึ่งโดยส่วนใหญ่จะเน้นไปที่การสร้างเพื่อขายและเน้นจดสิทธิบัตรเพื่อขายลิขสิทธิ์ในการสร้างเครื่องตรวจจับโลหะ โดยในที่นี้ จะยกถ้วนที่ความวิจัยที่สำคัญที่นำมาใช้ในงานวิจัยฉบับนี้ ดังนี้

Dr. Salman et. al.³ ได้นำเสนอเครื่องตรวจจับโลหะแบบการเหนี่ยวนำด้วยพัลส์ขึ้นมา โดยเครื่องดังกล่าวประกอบไปด้วยวงจรที่ใช้ในการสร้างพัลส์ที่มีค่าความถี่และความกว้างของพัลส์คงที่โดยใช้ไอซีไทรเมอร์ LM555 4 ตัว, วงจรที่ใช้ในการตรวจจับโลหะโดยใช้ช่วงขยายสัญญาณ และวงจรอนทิเกรเตอร์, แหล่งกำเนิดไฟฟ้า +5V, -5V และ -10V และขดลวดที่ใช้ตรวจจับ 1 วง

¹ I. Grant, F. S. and West, G. F. (1965). **Interpretation Theory in Applied Geophysics**. McGraw-Hill.

² J. A. Corbyn. (1980). Pulse Induction Metal Detector – 1 and 2. **Wireless World**.

³ Salman Durrani, James Boxall, Stephen Purvis, Garrick Madge, and Tathagat Banerjee. A Pulse Induction Metal Detector (ENGN3227). from http://users.cecs.anu.edu.au/~Salman.Durrani/_teaching/TA5.pdf.

โดยค่าความถี่และความกว้างของพัลส์สามารถที่จะเปลี่ยนแปลงค่าได้โดยการปรับจูนค่าความต้านทานและค่าตัวเก็บประจุ หลักการทำงานคือ หลังจากที่พัลส์ถูกส่งออกไปภาคส่งแล้ว วงจรชักตัวอย่าง (Sampling Circuit) ที่อยู่ในวงจรตรวจจับโลหะจะทำการมอนิเตอร์ตรวจจับระยะเวลาของพัลส์ที่สะท้อนกลับมา (Reflected Pulse หรือ Echo) ซึ่งในสภาวะปกติที่ไม่มีโลหะระยะเวลาการลดลง (Delay) ของพัลส์ที่สะท้อนกลับมาและตรวจจับได้ จะถูกกำหนดเป็นค่าระยะเวลาการลดลงขีดเริ่ม (Expected Length) ซึ่งมีค่าประมาณ $30\text{ }\mu\text{s}$ แต่ถ้ามีการตรวจจับพบโลหะระยะเวลาการลดลงของพัลส์ที่สะท้อนกลับมาและตรวจจับได้จะมีค่าที่มากกว่าค่าระยะเวลาการลดลงขีดเริ่มประมาณ $2 - 3\text{ }\mu\text{s}$ โดยได้สรุปประเด็นสำคัญที่นำเสนอไว้ว่า ถึงแม้ว่า PI Metal Detector จะไม่สามารถใช้งานในการจำแนกชนิดของโลหะได้ แต่ก็มีข้อดีคือสามารถตรวจจับโลหะภายใต้สภาพแวดล้อมหรือพื้นที่ที่มีค่าความนำไฟฟ้าสูงและสามารถตรวจจับโลหะที่อยู่ลึกกว่าเครื่องตรวจจับโลหะชนิดอื่นๆ โดยในงานวิจัยนี้ไม่ได้แสดงผลการทดสอบที่เกิดขึ้นจากการตรวจจับโดยดังกล่าวประกอบไปด้วยอุปกรณ์ RLC และไอซีจำนวนมาก ซึ่งจะเสียเวลาในการปรับจูนเวลามาก จนกระทั่งได้ค่าความถี่และความกว้างพัลส์ตามที่ต้องการ ต้องใช้ไฟเลี้ยงจำนวน 3 ค่า ซึ่งเป็นการยุ่งยากในการใช้งาน อีกทั้งไม่สามารถแยกแยะโลหะที่ต้องการจะตรวจจับได้

Nina Gajjar¹ ได้นำเสนอเครื่องตรวจจับโลหะอย่างง่ายที่ใช้อุปกรณ์ RLC ไอซีขยายสัญญาณเสียงออดิโอ ร่วมกับสายอากาศแบบลูป (Loop Antenna) 2 ตัว โดยเครื่องตรวจจับโลหะนี้ จะประกอบไปด้วยวงจรอสซิลิเตอร์ 2 วงจรที่เป็นแบบปรับค่าความถี่ได้และเป็นแบบที่มีค่าความถี่ตายตัว สัญญาณเอาต์พุตของทั้งสองวงจรอสซิลิเตอร์นี้จะถูกนำมาผสมกันด้วยวงจร Mixer ที่ซึ่งจะสร้างสัญญาณผลต่างออกมาเท่านั้น และในตอนแรก ทั้งสองวงจรนี้จะต้องถูกปรับจูนให้มีค่าความถี่ตรงกันเสียก่อน (Zero Beat) โดยใช้วงจรควบคุมการปรับจูนความถี่และจะต้องปรับจูนในสภาวะที่ไม่มีโลหะ ซึ่งจะไม่มีเสียงออดิโอเกิดขึ้น แต่ถ้านำไปทดสอบและตรวจจับพบโลหะค่า Zero Beat จะไม่เกิดขึ้นและมีเสียงออดิโอเกิดดังขึ้นที่ลำโพง โดยผลการทดสอบที่เกิดขึ้นจากลิ่งประดิษฐ์นี้ก็เป็นเพียงเด็กการตรวจจับพบกับไม่พบ โลหะ และมีเสียงเท่านั้น ไม่สามารถแยกชนิดของโลหะที่ตรวจพบได้

Michael R. Starcher² ได้นำเสนอ Blind Squirrel PI Metal Detector ที่ซึ่งเครื่องตรวจจับโลหะที่นำเสนอนี้ประกอบไปด้วยอุปกรณ์ RLC, MOSFET และไอซีจำนวนมาก ได้แก่ LM318, LM555, 4N35 ฯลฯ และขาด漉ตรวจสอบจับ 1 วง โดยพัลส์ที่มีช่วงเวลา ON สั้นๆ มีความถี่คงที่และมีค่า

¹ Nina Gajjar. FET Metal detector with IC Audio Amplifier. from <http://nina.foxdelta.com/detector.html>.

² Michael R. Starcher. Blind Squirrel PI Metal Detector. from <http://oldradiobuilder.com/MDET.html>.

กระแสไฟฟ้าสูงได้ถูกสร้างขึ้นตลอดเวลาและส่งไปยังชุดคลื่นโดยใช้ไอซีไทเมอร์ 555 เช่นเดียวกับงานวิจัยของ Dr. Salman et. al. แต่ใช้งานวงจรอิเล็กทรอนิกส์ที่แตกต่างกัน จึงทำให้ความถี่ใช้งานมีค่าไม่เท่ากันด้วย โดยค่าความถี่ที่ใช้งานจะมีค่าอยู่ระหว่าง 75 Hz และ 225 Hz ด้วยค่าความกว้างพัลส์ที่มีค่าประมาณ 100 -175 μs เส้นผ่านศูนย์กลางด้านในและด้านนอกของชุดคลื่นที่ใช้ในการตรวจจับโลหะมีค่าเท่ากับ 6.5 นิว (16.51 ซม.) และ 9.5 นิว (24.13 ซม.) ตามลำดับ โดยงานวิจัยที่นำเสนอในนี้ไม่ได้แสดงผลการทดสอบที่เกิดขึ้นจากการตรวจจับเช่นกัน แต่เข้าใจว่า เครื่องดังกล่าวสามารถตรวจจับโลหะ แต่ไม่สามารถแยกชนิดของโลหะที่ตรวจพบได้เช่นกัน

นอกจากนี้ จากการศึกษาและรวบรวมข้อมูลเกี่ยวกับเครื่องตรวจจับโลหะที่มีขายในประเทศไทย พบร่วมกับเครื่องตรวจจับโลหะส่วนใหญ่จะนำเข้ามาจากต่างประเทศ ซึ่งมีอยู่หลายบริษัท และหลายรุ่น ขึ้นอยู่กับสภาพแวดล้อมของการใช้งานและคุณสมบัติในการทำงาน ยกตัวอย่างเช่น

เครื่องตรวจจับโลหะแบบพกพา (Handheld Metal Detector) รุ่น MD-1001¹ เป็นเครื่องตรวจจับโลหะที่สามารถพกพาติดตัวได้เพื่อใช้ในการตรวจจับโลหะในงานรักษาความปลอดภัยตามสถานที่ที่ต้องการปลดจากอาชญากรรม อาทิ สถานที่ราชการ สนามบิน สถานบันเทิง ฯลฯ ซึ่งมีคุณสมบัติในการใช้งานคือ สามารถปรับความไวในการตรวจจับโลหะ เพื่อให้เหมาะสมกับชนิดของโลหะ เป้าหมายได้ มีสวิตช์เปิดปิดเพื่อการประยุกต์ใช้ในกรณีที่พักการใช้งานและมี Buzzer เตือนเมื่อมีการตรวจจับโลหะได้ หลักการทำงานของ Handheld Metal Detector รุ่นนี้ก็คือ ตัวเครื่องจะให้กำเนิดสนามแม่เหล็กอ่อนๆ ขึ้นในวงจรตรวจจับ แล้วส่งเสียงเตือนอ่อนๆ โดยปัจจัยที่จะส่งผลต่อการตรวจจับโลหะนั้นขึ้นอยู่กับ ชนิดของโลหะ ขนาดของโลหะ และความห่างจากผิวน้ำของเครื่อง

เครื่องตรวจจับวัตถุโลหะรุ่น Garrett Super Scanner² สามารถตรวจจับวัตถุจำพวก ปืน พกขนาดกลาง, มีดขนาดใหญ่, มีดคัตเตอร์, ฟอยล์ห่อยาเสพติด/เพชรเม็ดเล็กๆ ได้ในระยะทาง 9 นิว, 6 นิว, 3 นิว และ 1 นิว ตามลำดับ ซึ่งโดยทั่วไปจะใช้งานในอาคารเท่านั้น ยังไม่ทราบผลการตรวจจับโลหะที่วางในพื้นดิน ซึ่งตรงข้ามกับเครื่องตรวจจับโลหะที่ใช้งานในทางทหาร VMH3CS Mine Detector รุ่น VMW1 กับ VMW3 ของบริษัท Vallon³ ที่นำเข้ามาจากประเทศเยอรมนี เพื่อใช้ในการตรวจจับกับดกระเบิดและวัตถุต้องสงสัยที่เป็นโลหะต่างๆ ที่วางอยู่ในพื้นดิน

¹ Handheld Metal Detector (MD-1001). from <http://www.gunkamoy.com/index.php?lay=show&ac=article&Id=352431&Ntype=4>.

² Garrett Super Scanner (PI Metal Detector). from http://www.garrett.com/security/s_superscanner_specification.pdf.

³ VMH3CS Mine Detector. from http://www.vallon.de/pdf/VMH3CS_leaflet_09_2010.pdf.

ดังนั้น จึงเกิดแนวความคิดที่จะทำการ ศึกษาและออกแบบวงจรอิเล็กทรอนิกส์ใหม่เพื่อ ทำหน้าที่เปิด/ปิดวงจรพัลส์ให้แก่เครื่องตรวจจับโลหะแบบที่ใช้การเห็นี่ยวน้ำด้วยพัลส์และเขียน โปรแกรมไมโครคอนโทรลเลอร์ AVR ATmega168 ขึ้นมาเพื่อสร้างสัญญาณพัลส์ PWM แทนการ ใช้อุปกรณ์ RLC และไอซีจำนวนมากที่มีการนำเสนอในงานวิจัยก่อนหน้านี้ รวมถึงจัดเก็บค่า ระยะเวลาการลดลงของกระแสไฟฟ้าที่ไหลในชุด漉ตที่เกิดจากโลหะแต่ละชนิด โดยจะทำการ ตรวจจับโลหะทั้งที่วางในอากาศและที่วางในพื้นดิน รวมถึงเสนอแนวความคิดใหม่ที่จะทำการปรับ ค่าความกว้างพัลส์ด้านบวกของสัญญาณ PWM (T_{on}) โดยใช้ไมโครคอนโทรลเลอร์แทนการปรับจูน ค่าความกว้างของพัลส์โดยใช้อุปกรณ์ RLC ที่มีการนำเสนอในงานวิจัยก่อนหน้านี้

โดยความกว้างพัลส์ของสัญญาณ PWM ด้านบวกที่ถูกสร้างขึ้นนี้มีค่าต่างๆ กัน ตั้งแต่ 3 หน่วยของไมเมอร์ 0 (คิดเป็น $9.636 \mu s$) ไปจนถึง 50 หน่วยของไมเมอร์ 0 (คิดเป็น $160.6 \mu s$) เพื่อที่จะทำให้รู้ได้ว่าโลหะแต่ละชนิดมีผลตอบสนองต่อค่าความกว้างของพัลส์แต่ละค่าอย่างไร อีก ทั้ง เนื่องจากเทคโนโลยีการสร้างเครื่องตรวจจับโลหะมักจะถูกปิดบังเป็นความลับและถูกจด ลิขสิทธิ์ จึงทำให้กราฟผลตอบสนองเชิงเวลาของชุด漉ตของกระแสไฟฟ้าในชุด漉ตที่เกิดขึ้นจาก โลหะแต่ละชนิดที่ได้รับจากการทำวิจัยในวิทยานิพนธ์ฉบับนี้ไม่สามารถที่จะเปรียบเทียบผลการ ทดสอบของชิ้นงานนี้กับเครื่องอื่นๆ ที่ขายหรือที่ปรากฏในวารสารและบทความเชิงวิชาการต่างๆ ได้ แต่ทั้งนี้ ผลการทดสอบหรือเป้าหมายที่ต้องการจะได้รับจะเหมือนกันก็คือ นำผลการทดสอบที่ ได้รับจากการวิจัยนี้ไปพัฒนาต่อเนื่องและนำไปสร้างชิ้นงาน เครื่องตรวจจับโลหะที่สามารถอกร ชนิดและระบุห่างระหว่างชุด漉ตกับโลหะที่ตรวจจับได้